

Kvantová, atómová a subatomová fyzika

Rotátor a atóm vodíka

Kvantovanie momentu hybnosti

Vlastné hodnoty \hat{L}^2

$$\hat{L}^2|\psi_{lm}\rangle = \hbar^2 l(l+1)|\psi_{lm}\rangle$$

$$l = 0, 1, 2, 3, \dots$$

Vlastné hodnoty \hat{L}_z

$$\hat{L}_z|\psi_{lm}\rangle = \hbar m|\psi_{lm}\rangle$$

$$m = -l, -l+1, \dots, 0, 1 \dots, l-1, l$$

Len takéto hodnoty môžu byť výsledkom merania!

Rotátor

Energia otáčavého pohybu $E = \frac{L^2}{2I}$

Môže nadobúdať len hodnoty: $E_l = \frac{\hbar^2}{2I}l(l+1)$

Povolené sú len prechody $\Delta l = \pm 1$ $\Delta E = \frac{\hbar^2}{I}(l+1)$

Vyžarované sú frekvencie: $\omega = \frac{\hbar}{I}(l+1)$

Moment zotrvačnosti pre dvojatómovú molekulu $I = \mu d^2$

Meraním spektier môžeme merať veľkosť molekúl

Atóm vodíka

Potenciál

$$E_p(r) = -\frac{1}{4\pi\varepsilon_0} \frac{e^2}{r}$$

Schrödingerova rovnica

$$-\frac{\hbar^2}{2m} \Delta \psi(r, \vartheta, \varphi) - \frac{1}{2\pi\varepsilon_0} \frac{e^2}{r} \psi(r, \vartheta, \varphi) = E \psi(r, \vartheta, \varphi)$$

Kvantovanie energie:

$$E_n = -\frac{me^4}{8\varepsilon_0^2 h^2} \frac{1}{n^2}$$

Vlnové funkcie atómu vodíka

Rozklad na radiálnu a uhlovú časť

$$\psi_{nlm}(r, \vartheta, \varphi) = R_{nl}(r)Y_{lm}(\vartheta, \varphi)$$

Niekteré najnižšie radiálne vlnové funkcie:

$$R_{10} = \left(\frac{1}{a}\right)^{\frac{3}{2}} 2e^{-r/a}$$

$$R_{20} = \left(\frac{1}{2a}\right)^{\frac{3}{2}} \left(2 - \frac{r}{a}\right) 2e^{-r/2a}$$

$$R_{21} = \left(\frac{1}{2a}\right)^{\frac{3}{2}} \frac{r}{\sqrt{3}a} 2e^{-r/2a}$$

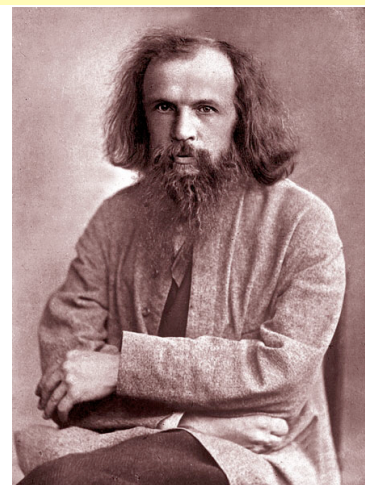
Bohrov polomer

$$a = \frac{\pi h^2 \varepsilon_0}{me^4}$$

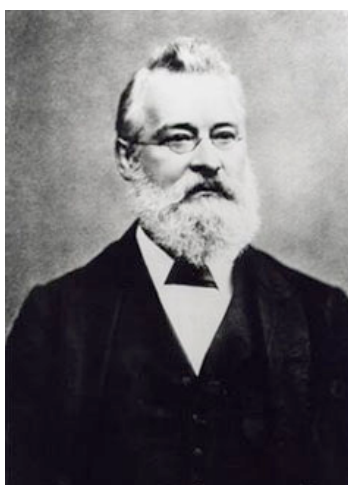
Atómy sa dajú usporiadáť podľa vlastností

Dmitrij Ivanovič Mendelejev, 1869 (skoro Nobelova cena 1905)

Group → 1 ↓ Period	1	2	3	4	5	6	7	8	9	10	11	12	13	14	15	16	17	18	
1	1 H															2 He			
2	3 Li	4 Be											5 B	6 C	7 N	8 O	9 F	10 Ne	
3	11 Na	12 Mg											13 Al	14 Si	15 P	16 S	17 Cl	18 Ar	
4	19 K	20 Ca	21 Sc	22 Ti	23 V	24 Cr	25 Mn	26 Fe	27 Co	28 Ni	29 Cu	30 Zn	31 Ga	32 Ge	33 As	34 Se	35 Br	36 Kr	
5	37 Rb	38 Sr	39 Y	40 Zr	41 Nb	42 Mo	43 Tc	44 Ru	45 Rh	46 Pd	47 Ag	48 Cd	49 In	50 Sn	51 Sb	52 Te	53 I	54 Xe	
6	55 Cs	56 Ba	57 La	*	72 Hf	73 Ta	74 W	75 Re	76 Os	77 Ir	78 Pt	79 Au	80 Hg	81 Tl	82 Pb	83 Bi	84 Po	85 At	86 Rn
7	87 Fr	88 Ra	89 Ac	*	104 Rf	105 Db	106 Sg	107 Bh	108 Hs	109 Mt	110 Ds	111 Rg	112 Cn	113 Nh	114 Fl	115 Mc	116 Lv	117 Ts	118 Og
	*	58 Ce	59 Pr	60 Nd	61 Pm	62 Sm	63 Eu	64 Gd	65 Tb	66 Dy	67 Ho	68 Er	69 Tm	70 Yb	71 Lu				
	*	90 Th	91 Pa	92 U	93 Np	94 Pu	95 Am	96 Cm	97 Bk	98 Cf	99 Es	100 Fm	101 Md	102 No	103 Lr				



Mendeleev



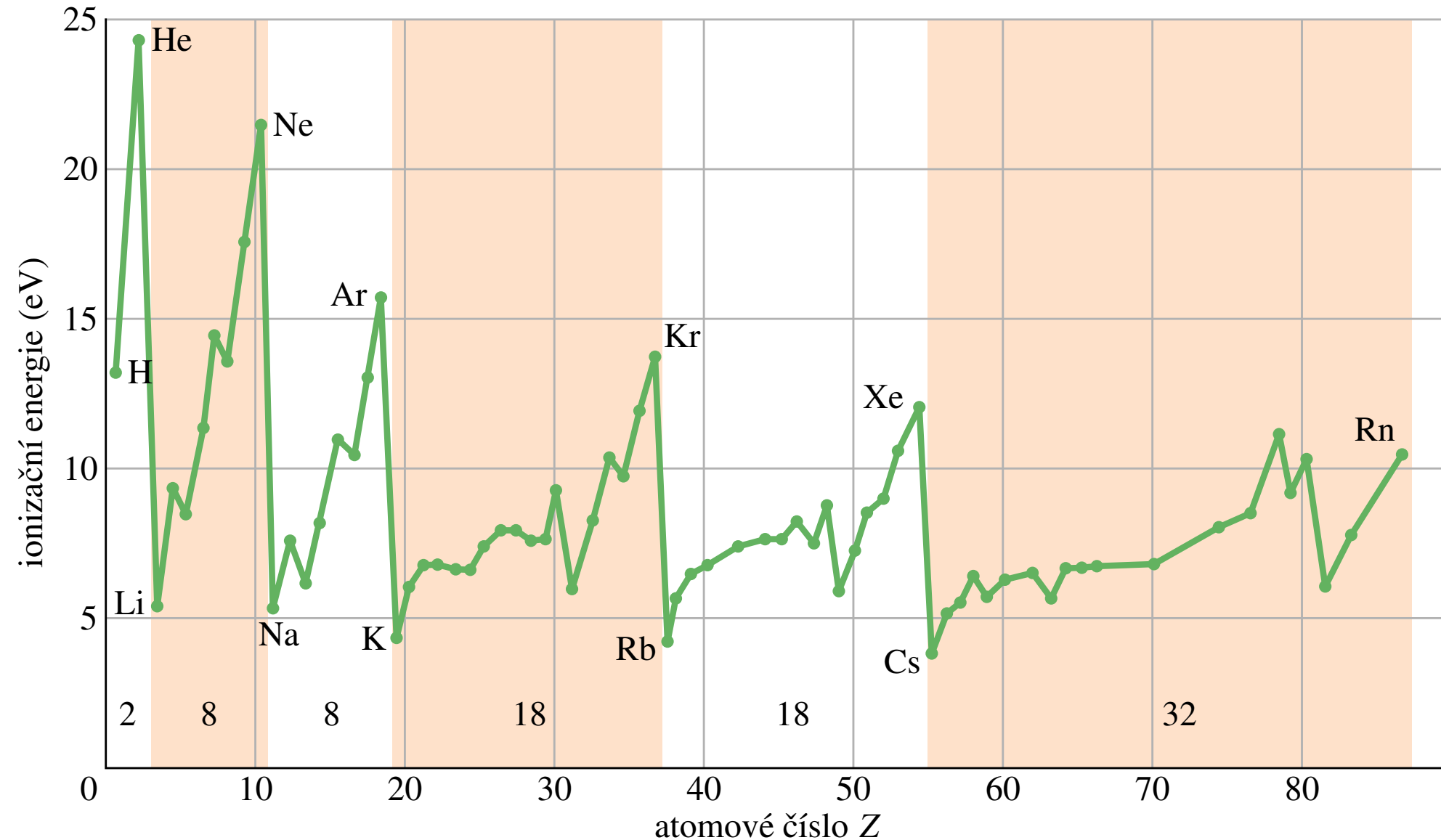
John Newlands, 1865



Lothar Meyer, 1864

Ionizačná energia

Energia, potrebná na vybratie najslabšie viazaného elektrónu z obalu atómu



najvyššia pre vzácne plyny - najstabilnejšie atómy

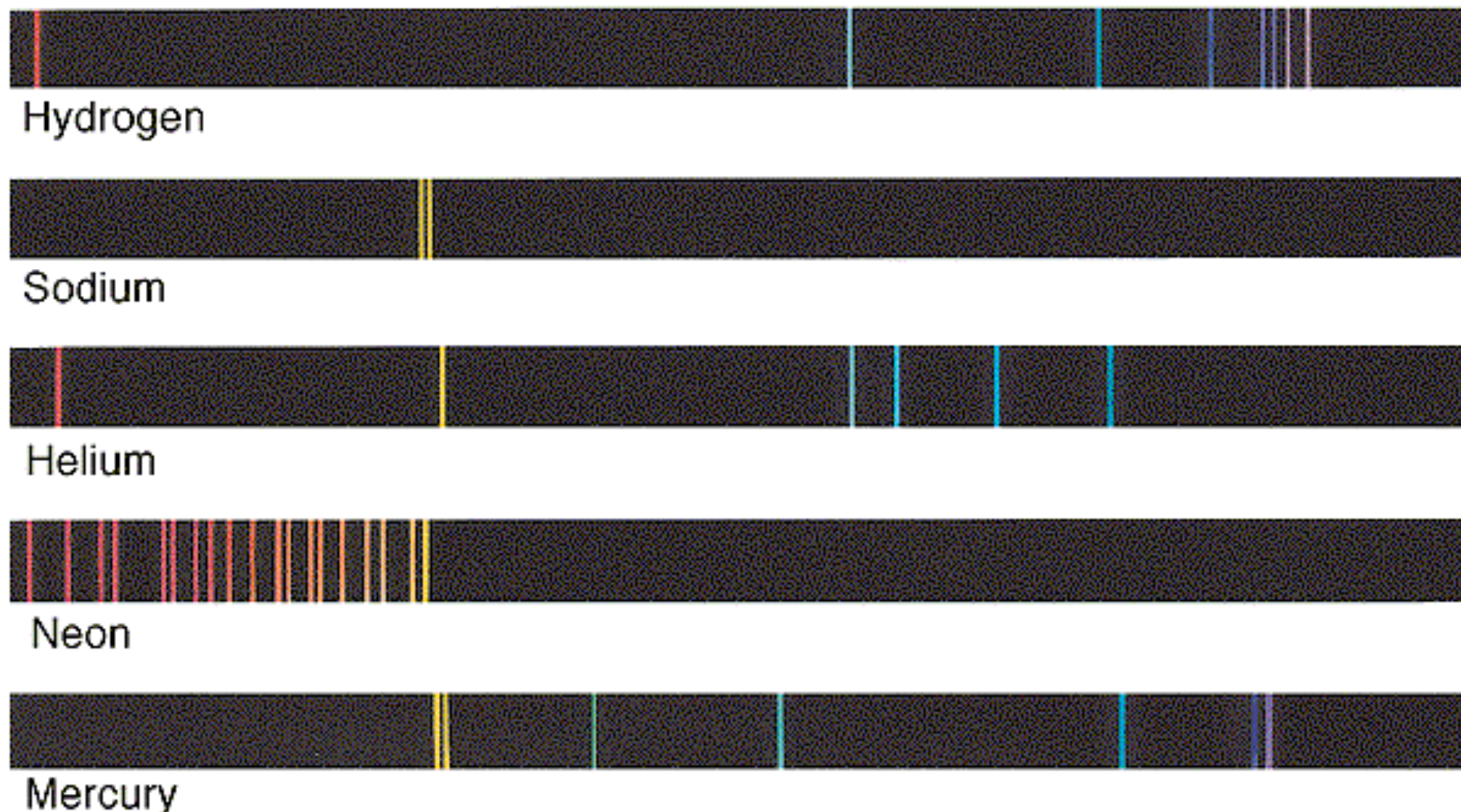
najnižšia pre alkalické kovy - najslabšie viazané, naviac reaktívne

vysvetlenie vyplýva z usporiadania kvantových stavov elektrónu (nasledujúca prednáška)

Absorpčné a emisné spektrá

V zásade musí platiť, že energia fotónu je daná $h\nu = E_v - E_n$

Každý atóm má svoje charakteristické spektrum, závisiace od energetických hladín.



Moment hybnosti a magnetický moment

Klasický obraz (nie platný, ale poskytujúci ilustráciu)
moment hybnosti

$$\vec{L} = \vec{r} \times \vec{p}$$

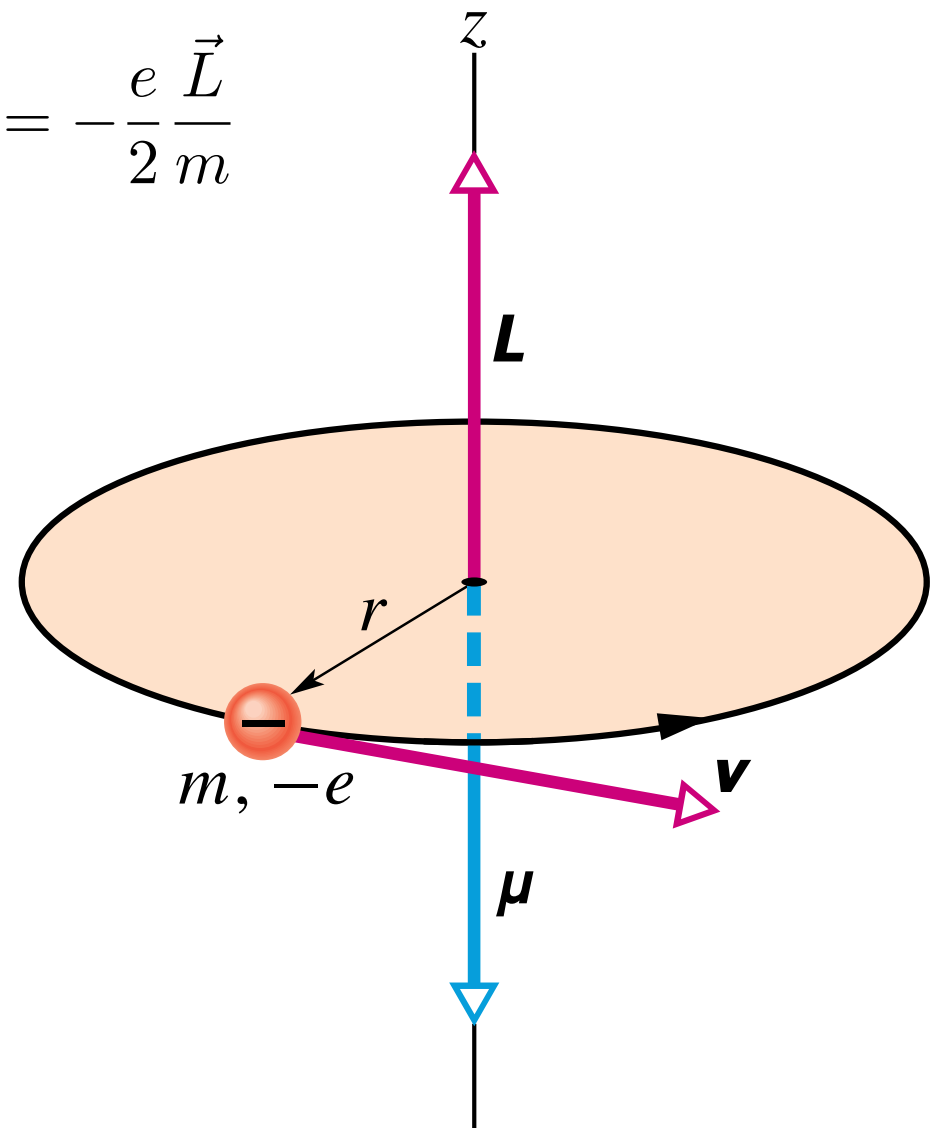
magnetický moment

$$\vec{\mu} = I\vec{S} = Qf\pi r^2 \vec{n} = -e \frac{v}{2\pi r} \pi r^2 \vec{n} = -\frac{e}{2} vr \vec{n} = -\frac{e}{2m} \vec{L}$$

gyromagnetický pomer

$$\gamma = -\frac{e}{2m}$$

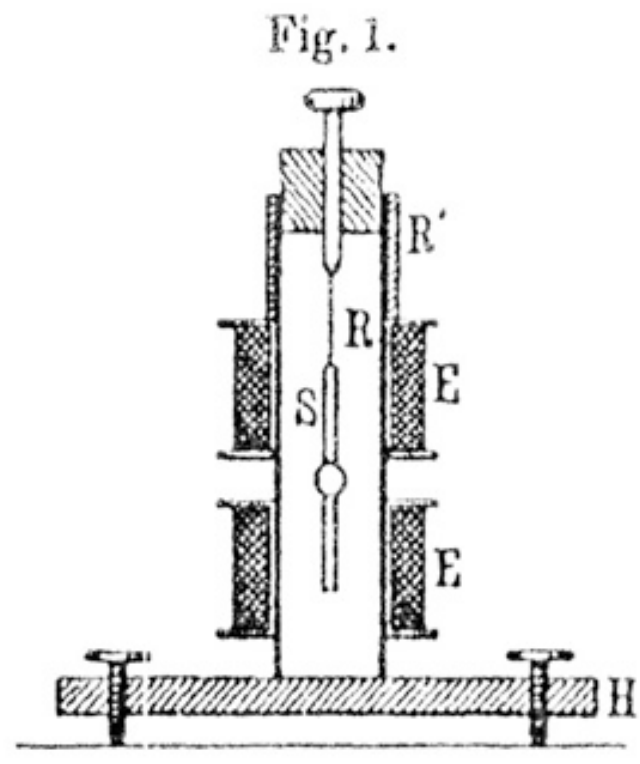
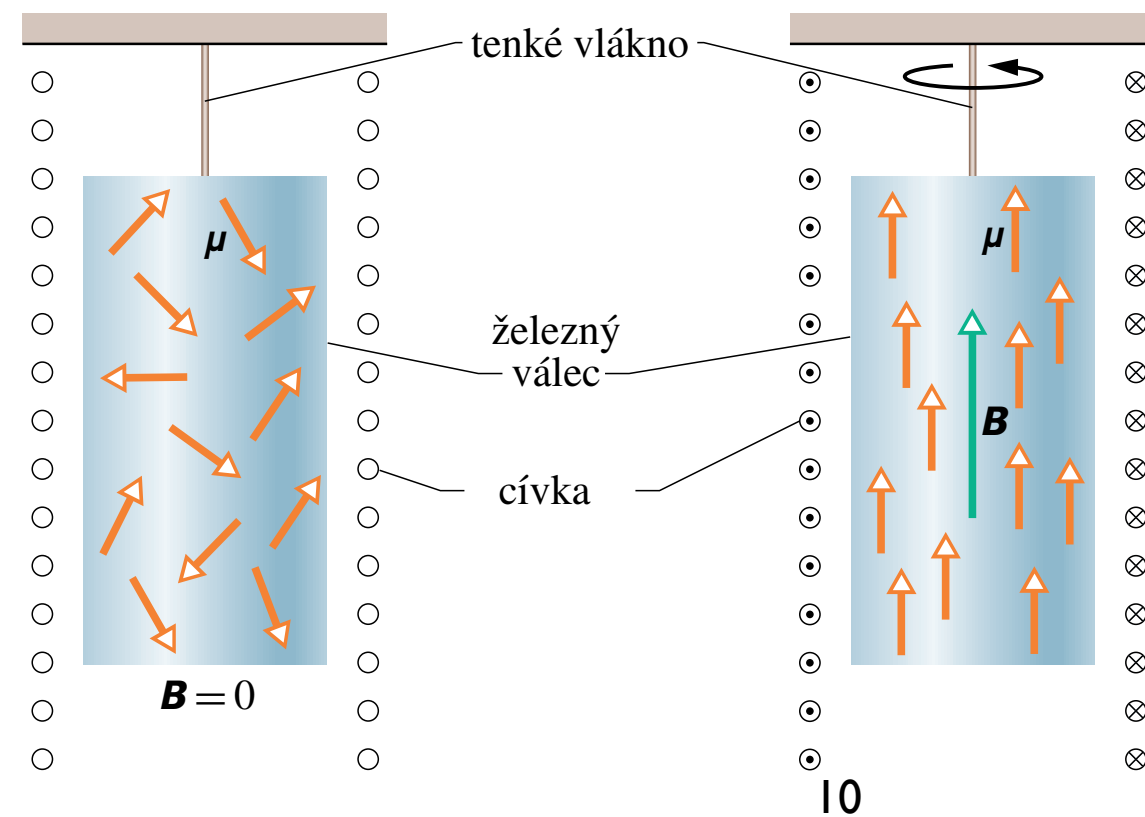
$$\vec{\mu} = \gamma \vec{L}$$



Einsteinov a de Haasov experiment

Dôkaz previazanosti momentu hybnosti a magnetického momentu
(predpovedal ho Owen Willans Richardson, 1908)
(Einsteinov jediný experiment, AE & Wander Johannes de Haas 1915)

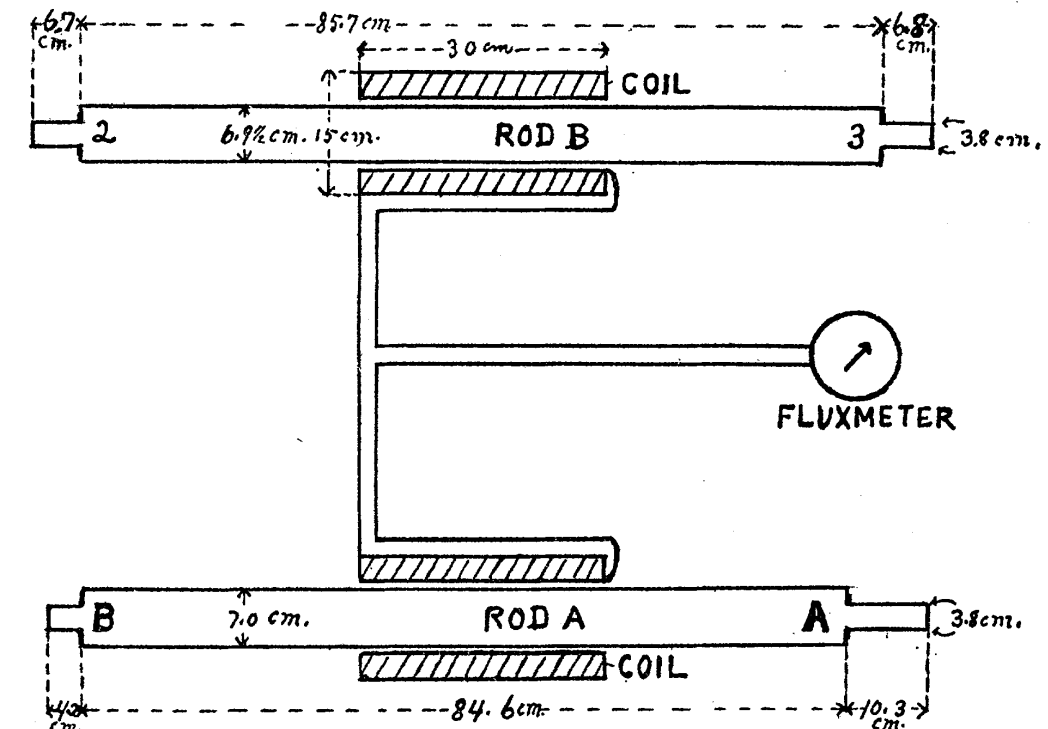
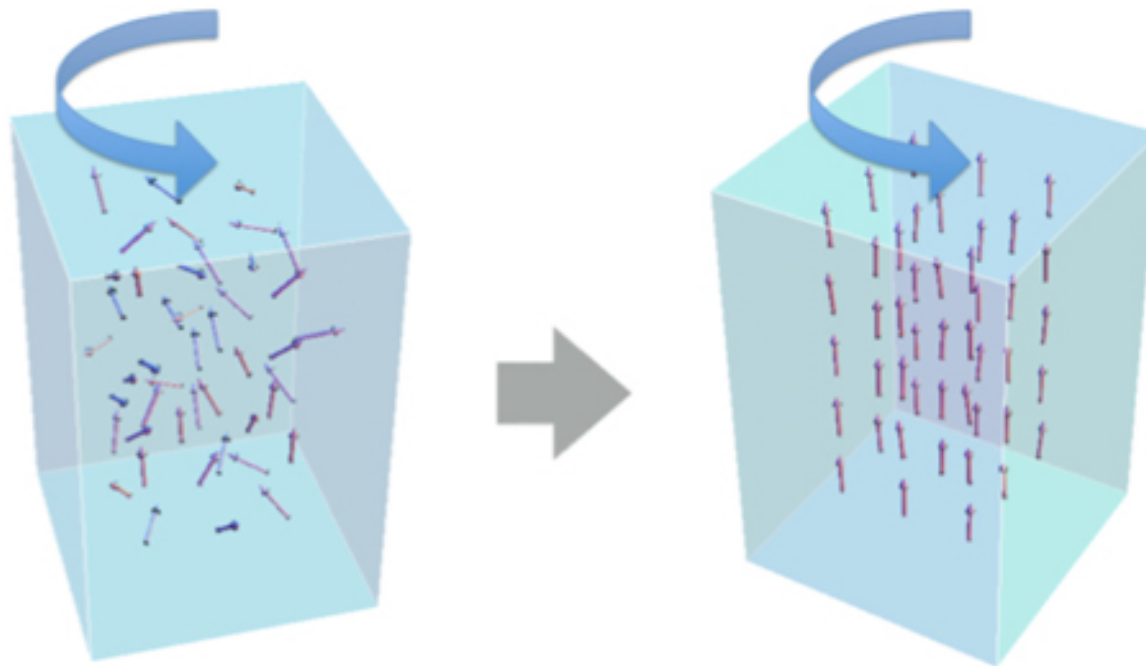
1. Valec je zmagnetizovaný krátkym impulzom magnetického poľa generovaného cievkami.
2. Magnetické momenty sa orientujú paralelne s B .
3. To vedie aj k spoločnej orientácii mikroskopických momentov hybnosti L
4. Mikroskopické momenty hybnosti sa spočítajú a vedú k makroskopickému efektu: valec sa začne otáčať.
5. Otáčanie valca zabrzdi torzný záves, v ktorom sa vytvorí moment sily.



Barnettov experiment

Samuel J. Barnett: magnetizácia nenabitého telesa spôsobná rotáciou (1908-1915)

1. železné tyče sa otáčajú v cievkach
2. Generovaná magnetizácia mení magnetický tok cievkami a na cievkach sa produkuje napätie
3. Napätie je merané



$$M = \chi \frac{\omega}{\gamma}$$

M magnetizácia
 ω uhlová rýchlosť
 χ magnetická susceptibilita
 γ gyromagnetický pomer

Kvantovanie momentu hybnosti

Moment hybnosti môže nadobúdať len niektoré diskrétné hodnoty

$$L = \hbar\sqrt{l(l+1)}$$

Aj jeho priemet do hociktorej osi môže nadobúdať len niektoré hodnoty

$$L_z = \hbar m_l$$

Pre orbitálny moment hybnosti: $l = 0, 1, 2, \dots$

$$m_l = -l, -l+1, \dots 0, \dots l-1, l$$

Toto je orbitálne a magnetické kvantové číslo v atóme vodíka.

Pre interakciu s magnetickým poľom potrebujeme z-ovú komponentu magnetického momentu, pretože

$$U = -\vec{\mu} \cdot \vec{B} = -\mu_z B$$

vyjadríme

$$\mu_z = \gamma L_z = -\frac{e}{2m} \hbar m_l = -m_l \mu_B$$

zaviedli sme Bohrov magnetón

$$\mu_B = \frac{e\hbar}{2m} = 9,274 \cdot 10^{-24} \text{ J/T}$$

Spin

Elektrón (a aj iné častice, napríklad protóny a neutróny) má svoj vlastný **vnútorný moment hybnosti**. Volá sa **spin**.

Hodnota spinu (momentu hybnosti) zodpovedá kvantovaniu momentu hybnosti s kvantovým číslom $1/2$.

$$S = \hbar\sqrt{s(s+1)} = \hbar\sqrt{\frac{1}{2}\left(\frac{1}{2} + 1\right)}$$

Komponenta v smere osi z:

$$S_z = m_s \hbar, \quad m_s = -\frac{1}{2}, \frac{1}{2}$$

⇒ máme štvrté kvantové číslo pre charakterizovanie stavov elektrónu v atóme vodíka

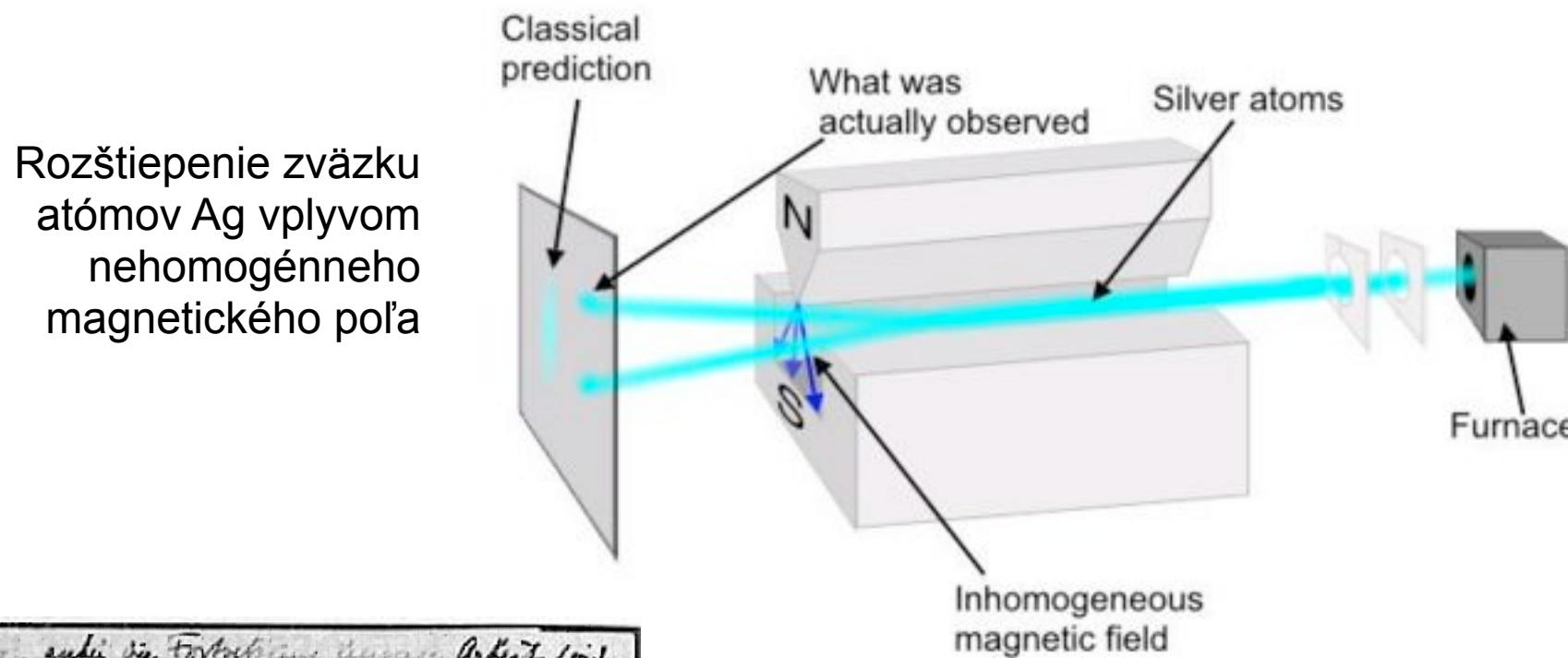
Zložka magnetického momentu v smere osi z:

$$\mu_{s,z} = -2m_s \mu_B$$

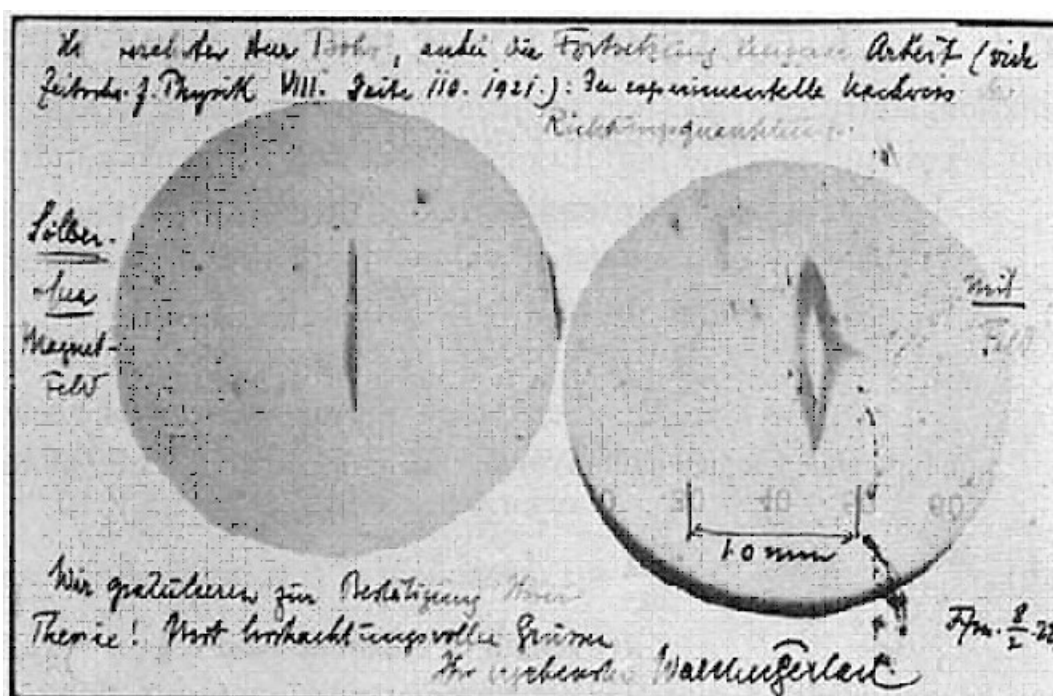
Gyromagnetický pomer spinu elektrónu sa od *klasického* gyromagnetického pomeru líši faktorom 2 (presnejšie 2,002 319 304 76).

Sternov-Gerlachov experiment

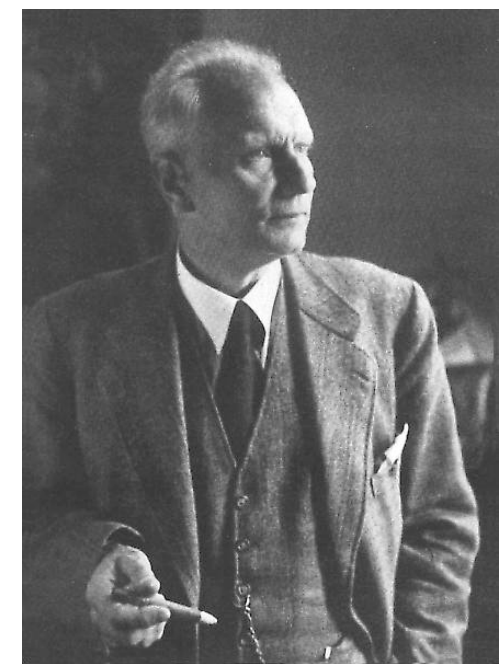
Dôkaz kvantovania momentu hybnosti a jeho z-ového komponentu - priestorové kvantovanie
Otto Stern, Walther Gerlach
experiment 1922 vo Frankfurte, Nobelova cena Stern 1943



Stern



Gerlachova pohľadnica
Bohrovi s výsledkom
pokusu "Gratulujeme
Vám k potvrdeniu Vašej
teórie!"



Gerlach

Magnetický moment v nehomogénnom magnetickom poli

Potenciálna energia

$$U = -\vec{\mu} \cdot \vec{B} = -\mu_z B$$

Sila

$$\vec{F} = -\nabla U$$

Pre pole závisiace len od z

$$F = -\frac{d}{dz}U = \frac{d}{dz}\mu_z B = \mu_z \frac{dB}{dz}$$

Atómy (alebo iné častice) sa vychýlia podľa toho, aká veľká sila na ne pôsobí.

Klasické očakávanie: priemet mg momentu do osi poľa môže mať ľubovoľnú veľkosť, sila môže mať spojite rozložené hodnoty, môžeme dostať ľubovoľnú výchylku.

Kvantovanie priestoru: priemet mg momentu má len diskrétné hodnoty, môžeme dostať len diskrétné výchylky.

Jadrová magnetická rezonancia

Protón má spin $1/2$ a vlastný magnetický moment

Dve energetické hladiny vo vonkajšom magnetickom poli \mathbf{B}

$$E_{1,2} = \pm \mu_z B$$

$$\Delta E = 2\mu_z B$$

Preklopenie spinu (prechod medzi hladinami) pri rezonančnej frekvencii

$$\nu = \frac{2\mu_z B}{h}$$

Jadrová magnetická rezonancia

Praktická situácia v látke:

- viac protónov je v stave s nižšou energiou
- pri ožiarení elektromagnetickým vlnením s rezonančnou frekvenciou máme silnejšiu absorpciu žiarenia

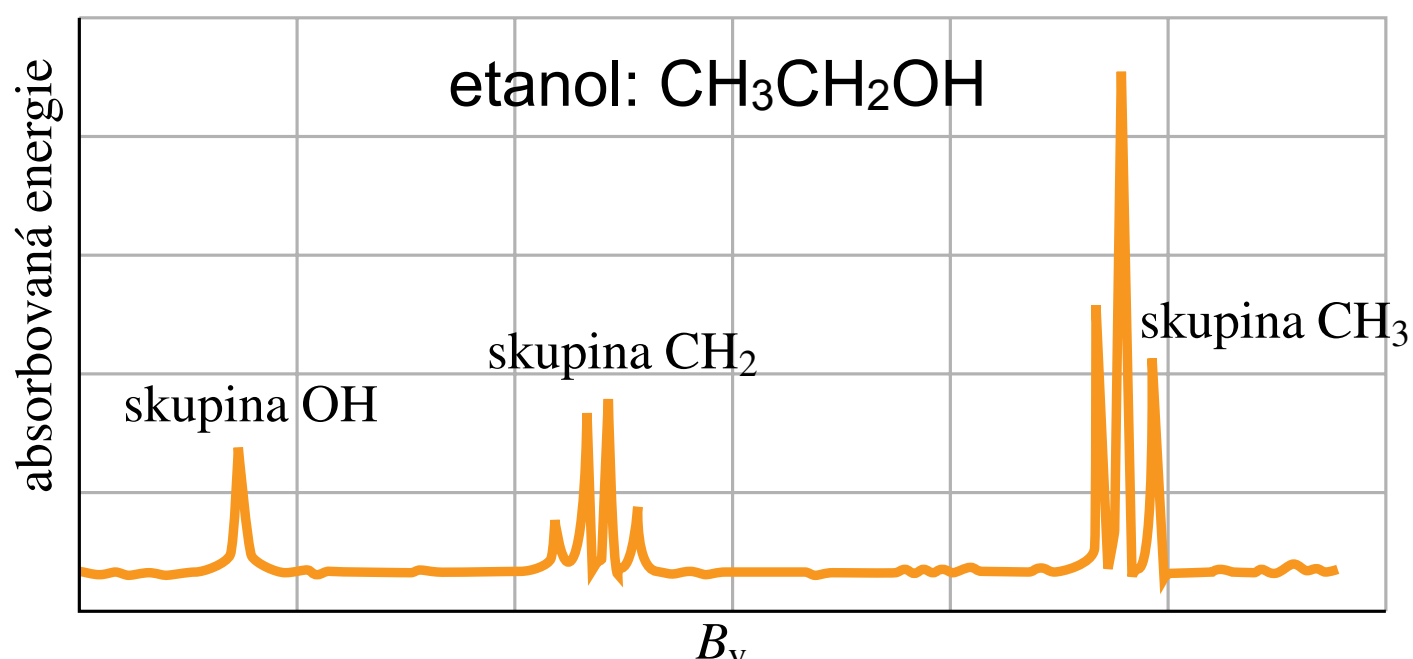
Jadrová magnetická rezonancia - využitie

Vonkajšie magnetické pole pôsobiace na atóm má *lokálny* príspevok od okolitých jadier a elektrónov, takže požiadavka na rezonančnú frekvenciu je

$$\nu = \frac{2\mu_z(B_v + B_l)}{h}$$

B_l je charakteristickou vlastnosťou materiálu

Pri fixovanom v hľadáme B_v tak, aby sme dostali rezonanciu - toto nám povie o B_l



Zobrazovacia technika MRI (magnetic resonance imaging)

V rôznych priestorových oblastiach máme rôzne látky - absorpcia pri rôznych hodnotách B_v - meriame kde máme rezonanciu

